## sense and simplicity







Mesa redonda 2: Avances en la tecnología Adolfo Velasco Crespo, Madrid octubre de 2010

Jornada sobre Protección Radiológica en Radiología Pediátrica. Criterio ALARA







## **Dose** *₩* ise

Perfect image. Perfect sense.



## **Dose** *₩*ise

Perfect image. Perfect sense.



## Imagen médica con RX

#### El impacto

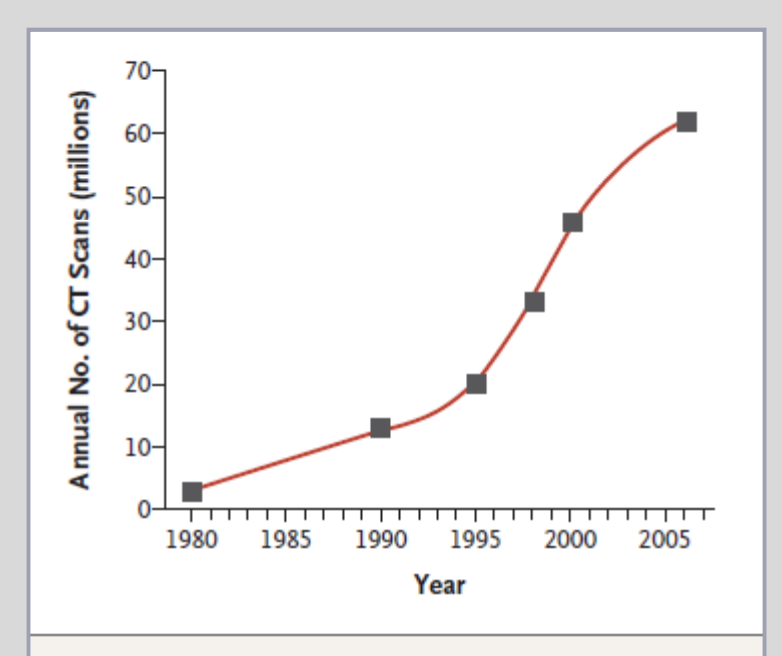
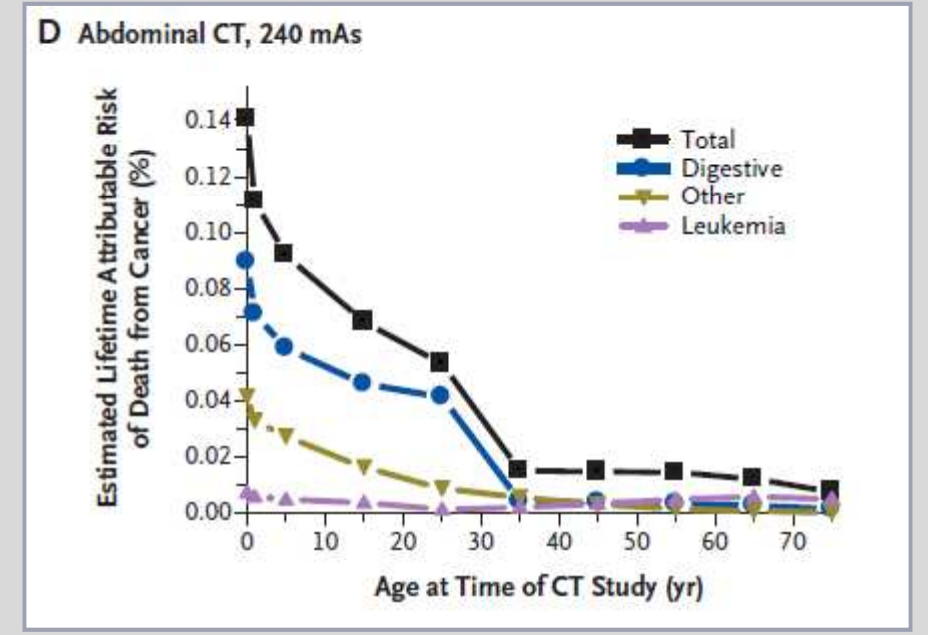
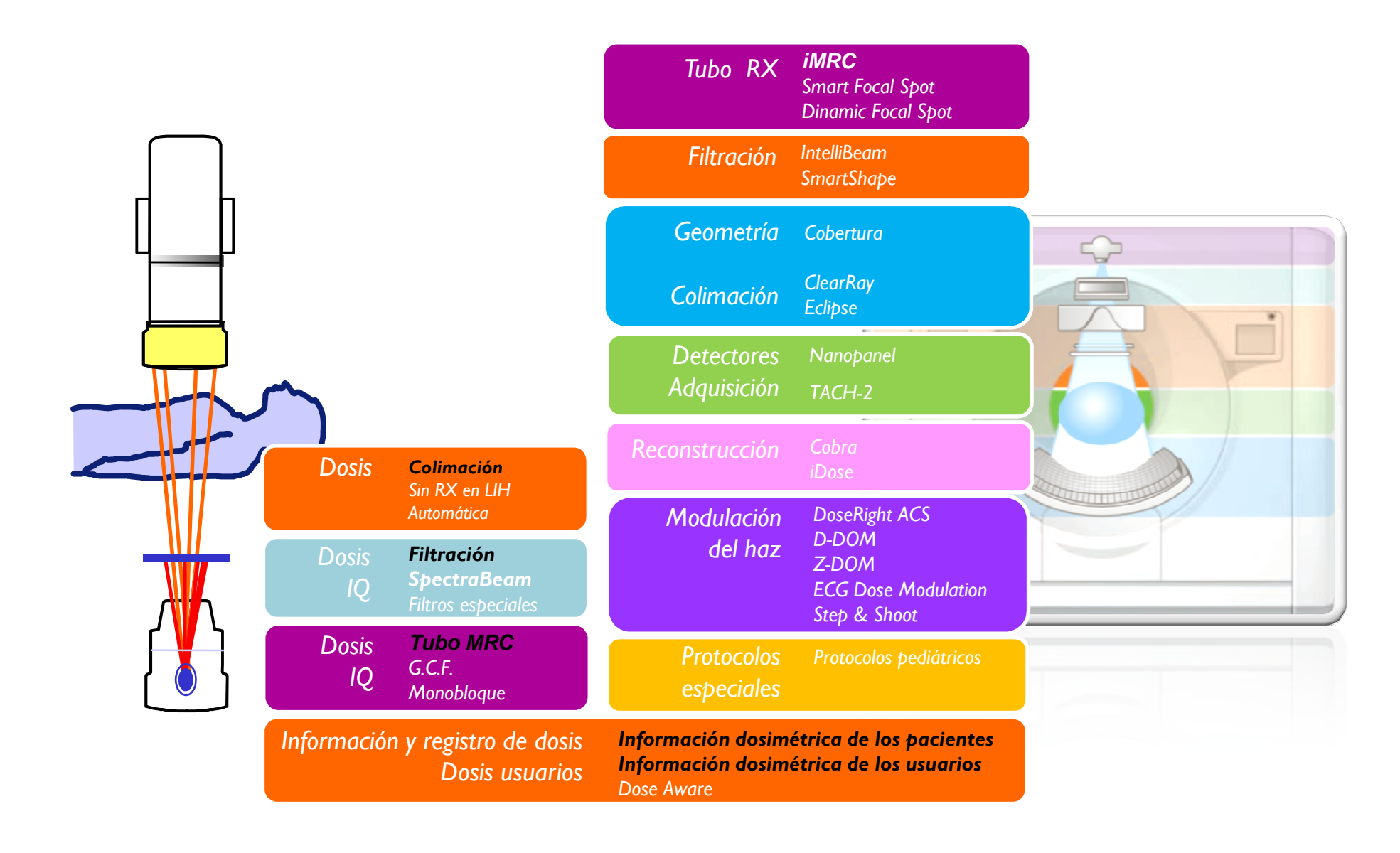


Figure 2. Estimated Number of CT Scans Performed Annually in the United States.

The most recent estimate of 62 million CT scans in 2006 is from an IMV CT Market Summary Report.<sup>3</sup>



## Tecnología para optimizar las dosis/IQ



## Dosis e IQ en RX

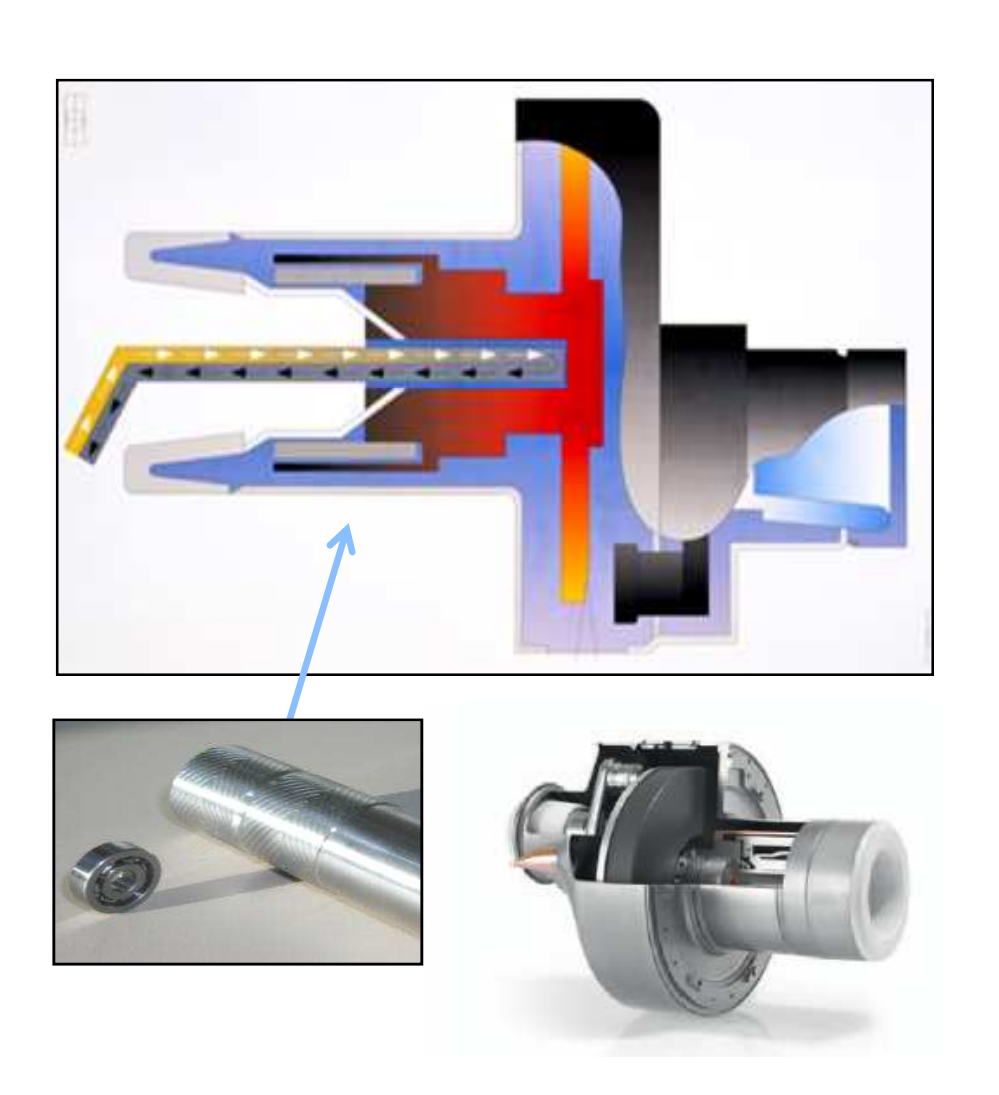
Generación de rayos X

#### Tubo MRC

Ánodo de grandes dimensiones

Cojinete de metal líquido con gran Superficie

Refrigeración directa del ánodo

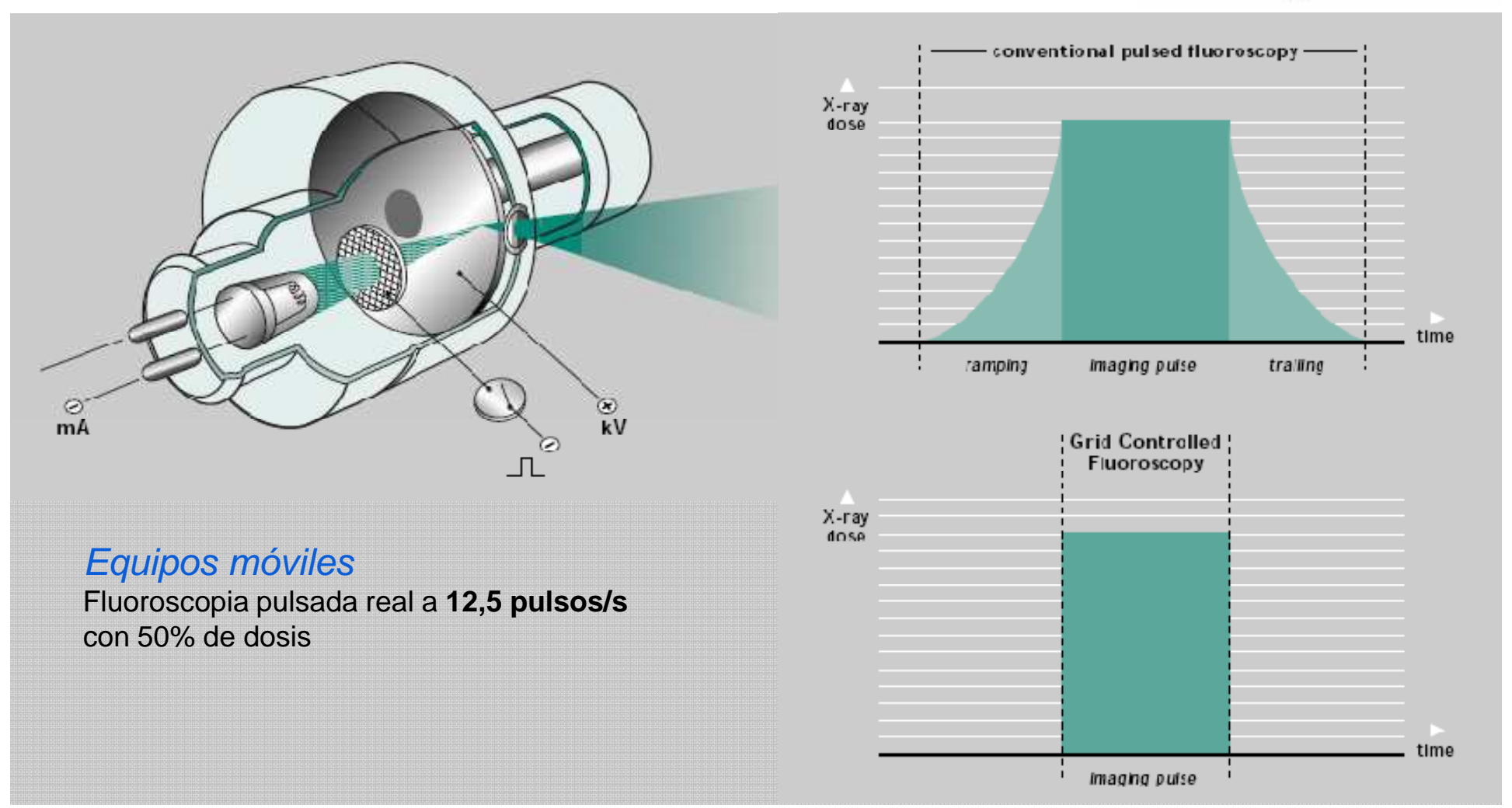


## Dosis e IQ en RX

Fluoroscopia Controlada por Rejilla (G.C.F.)

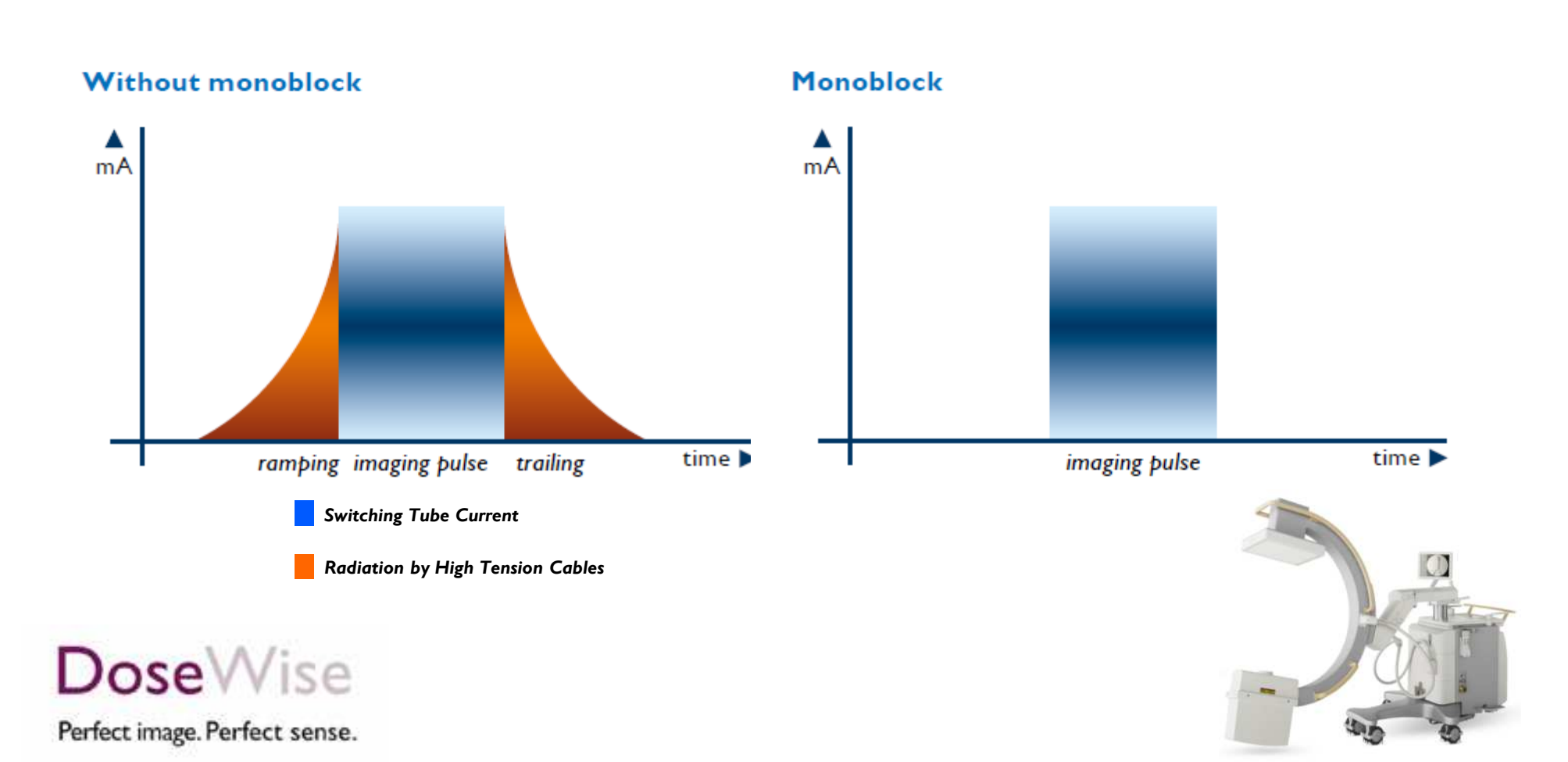
Permite hasta un 80% de reducción de dosis





## Dosis en RX

Monobloque



### Dosis e IQ en RX

Filtración

#### SpectraBeam

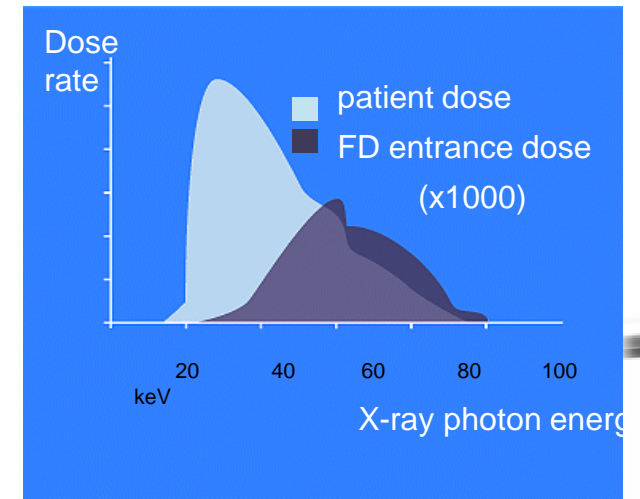
**0,2 mm Cu**mejor calidad de imagen sin incremento de dosis

**0,5 mm Cu** mantiene la calidad de imagen reduce las dosis

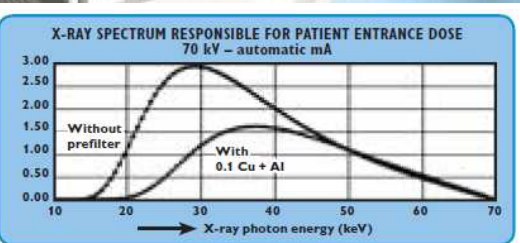
**1,0 mm Cu** las dosis más bajas Pediatría

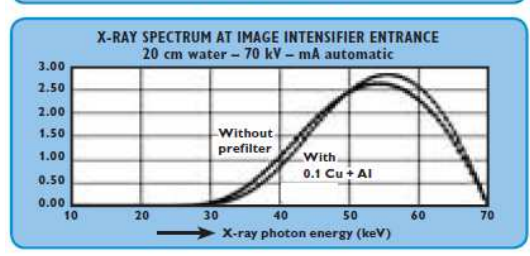
Filtros especiales (arcos móviles) 3 mm Al & 0,1 mm de Cu







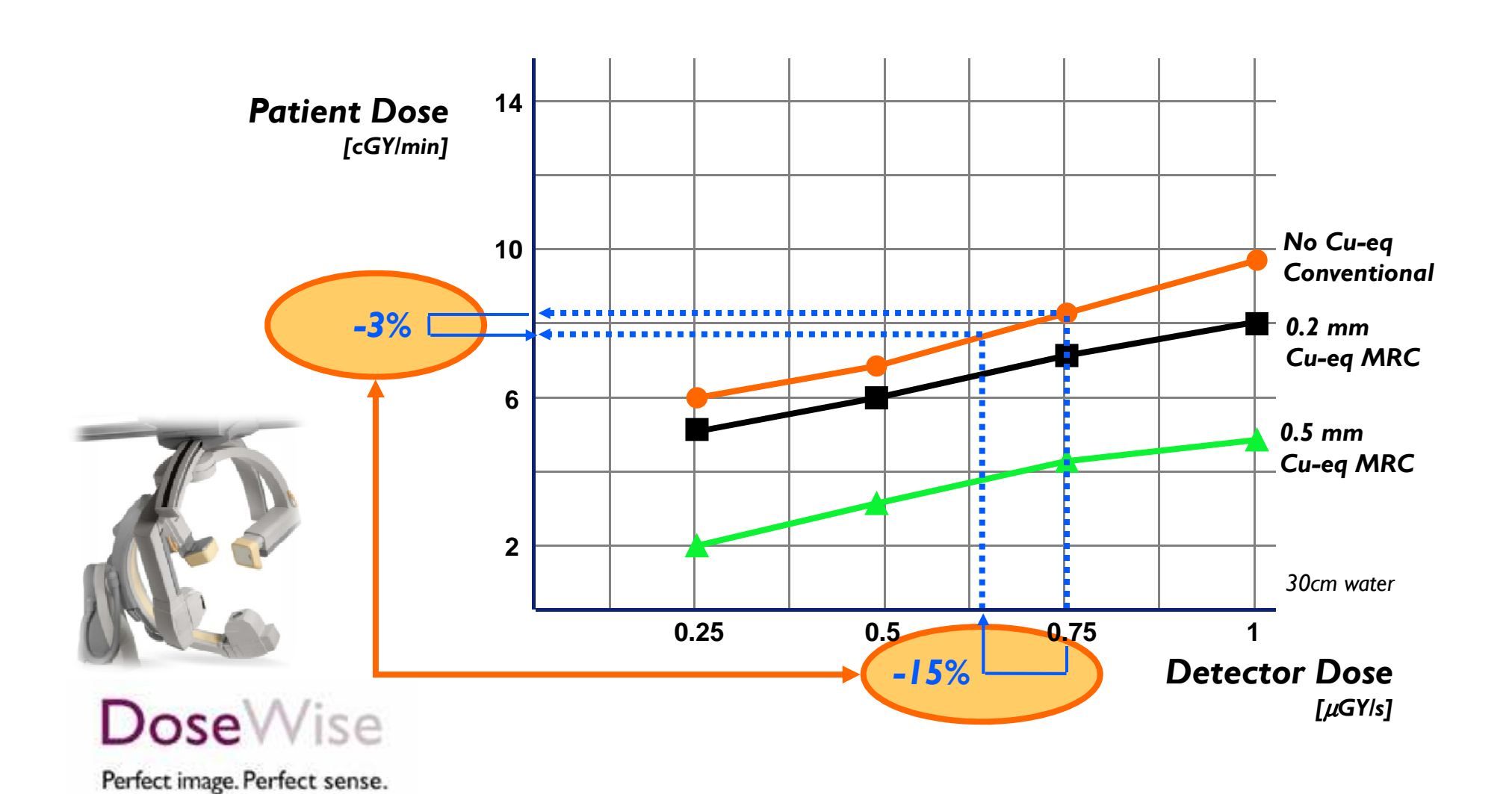






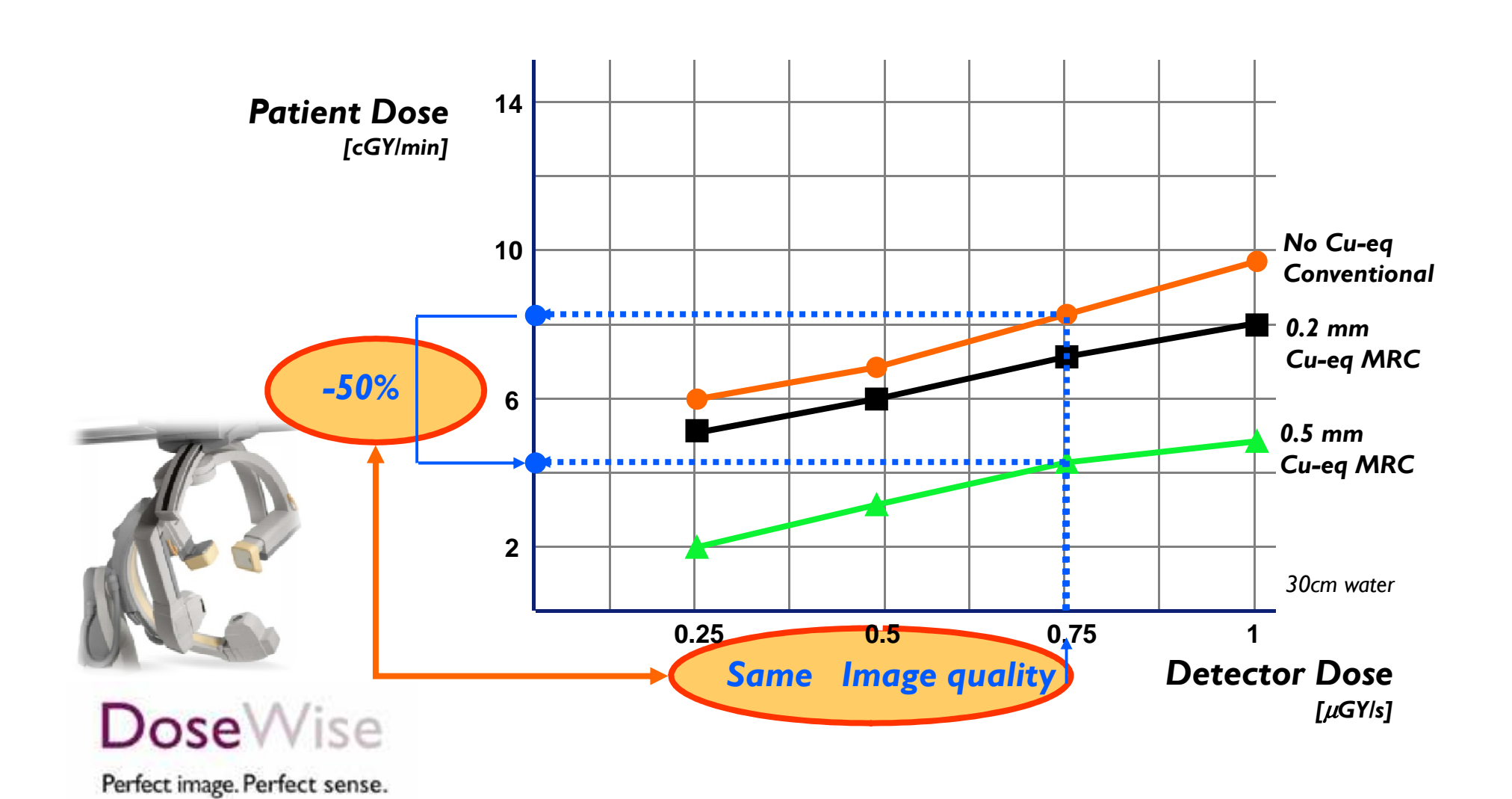
## Dosis e IQ en RX

SpectraBeam



## Dosis & IQ (RX)

SpectraBeam



## Dosis (RX)

Colimación

#### En LIH, sin radiación

Prescinde de los RX para el ajuste

#### Automática

Utiliza imagen LIH (sin radiación) para predecir la colimación más adecuada

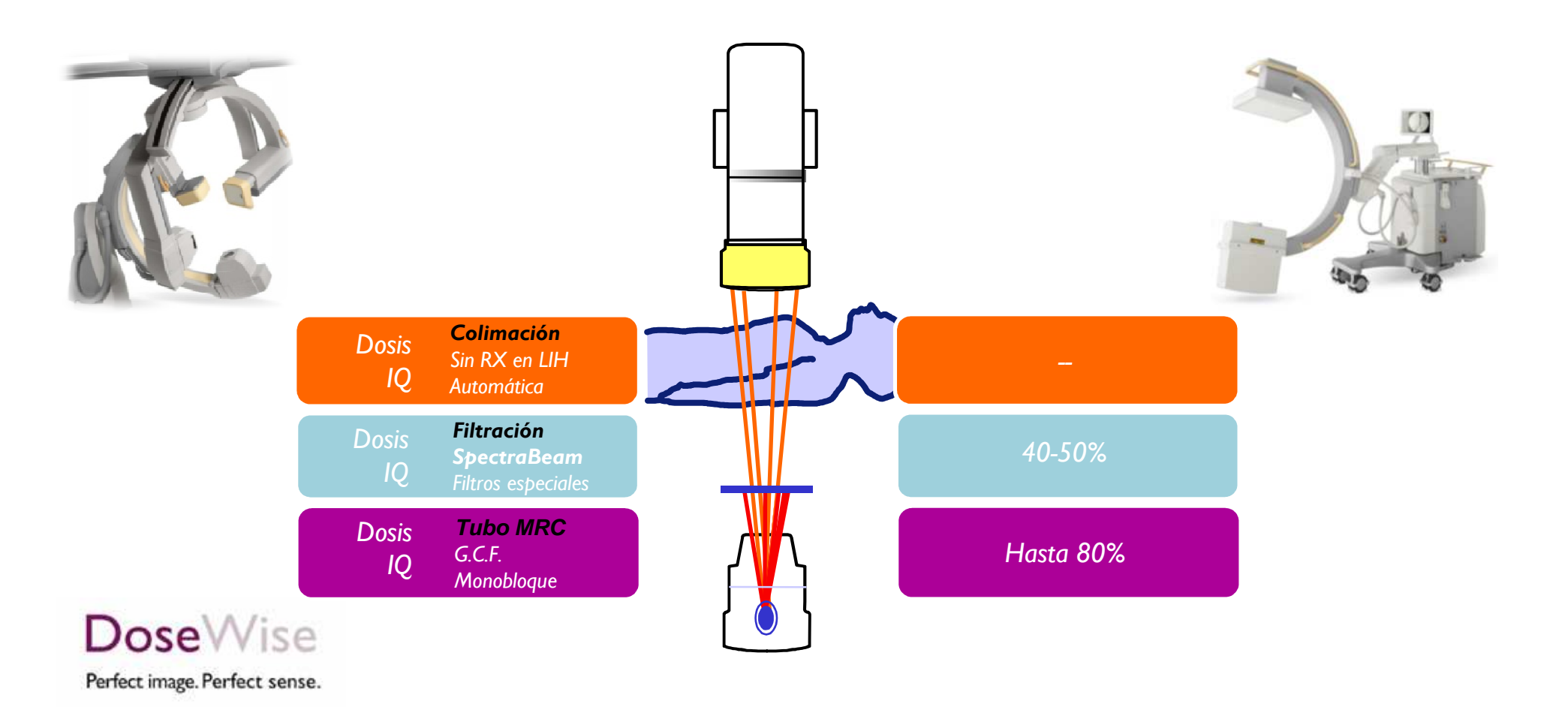
#### Asimétrica

Adaptada al órgano explorado



## Reducciónes de dosis

#### **Conclusiones**



## Dosis en TC

#### **Factores**



### Tubo de RX

Tubo iMRC

Factores esenciales

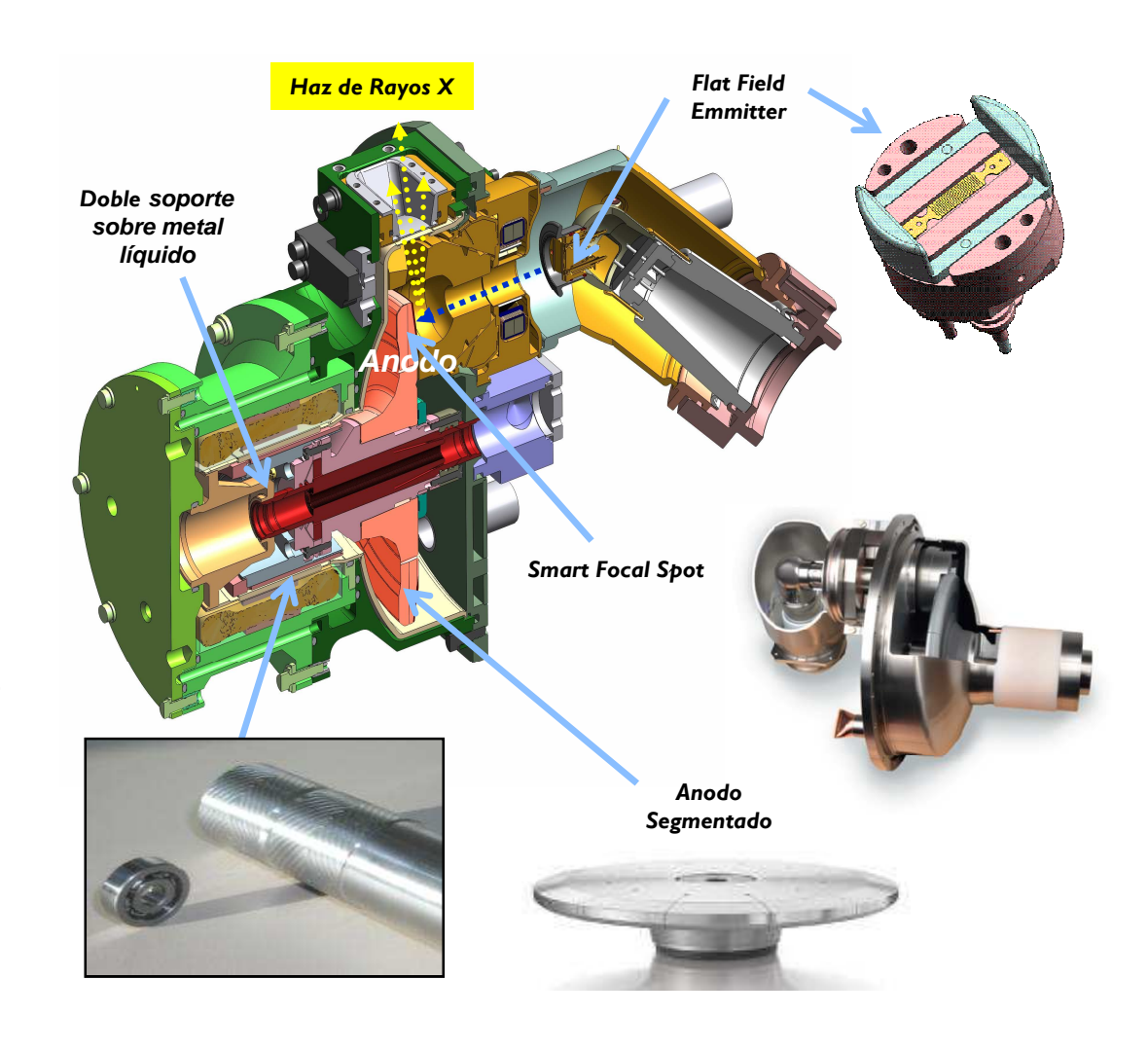
Cojinete de metal líquido con gran Superficie:

- -Mejora la conductividad térmica y la refrigeración (directa del ánodo)
- -Garantiza una muy alta estabilidad mecánica de la mancha focal

Ánodo segmentado de grandes dimensiones

Emisor plano de electrones

Permite un alto rendimiento y filtraciones más agresivas = menores dosis



## Tubo de RX Tubo iMRC



#### Smart Focal Spot

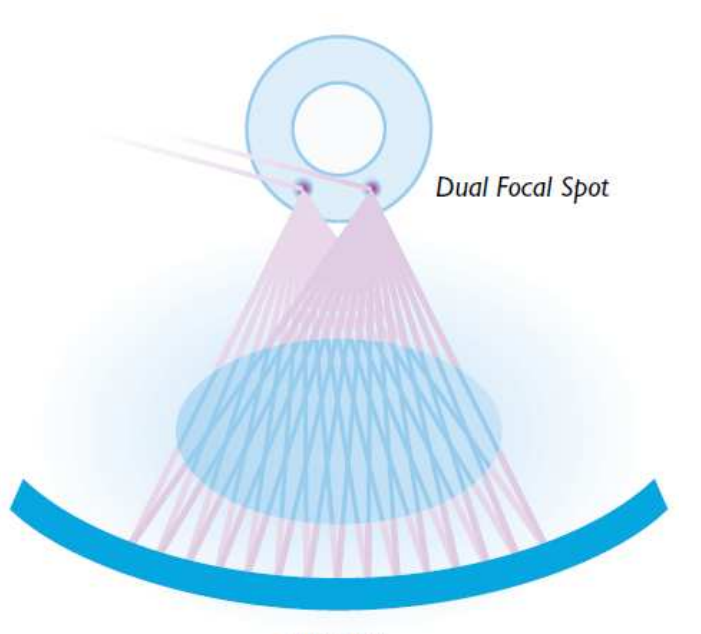
Permite crear dos focos mediante la deflexión del haz de electrones

Duplica las proyecciones que se obtienen

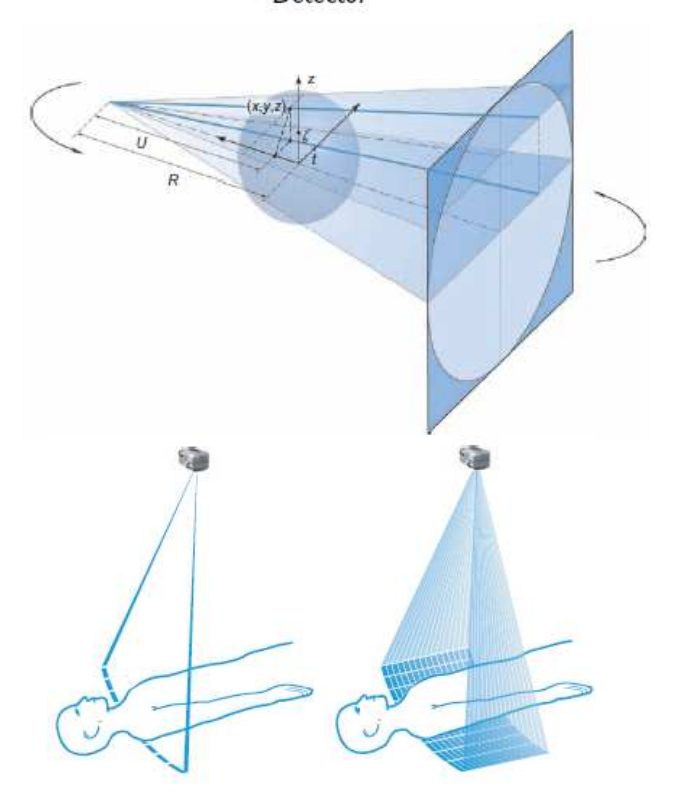
Resultado: 24 pl/cm

#### Dinamic Focal Spot

Permite desdoblamiento en el eje Z



Detector

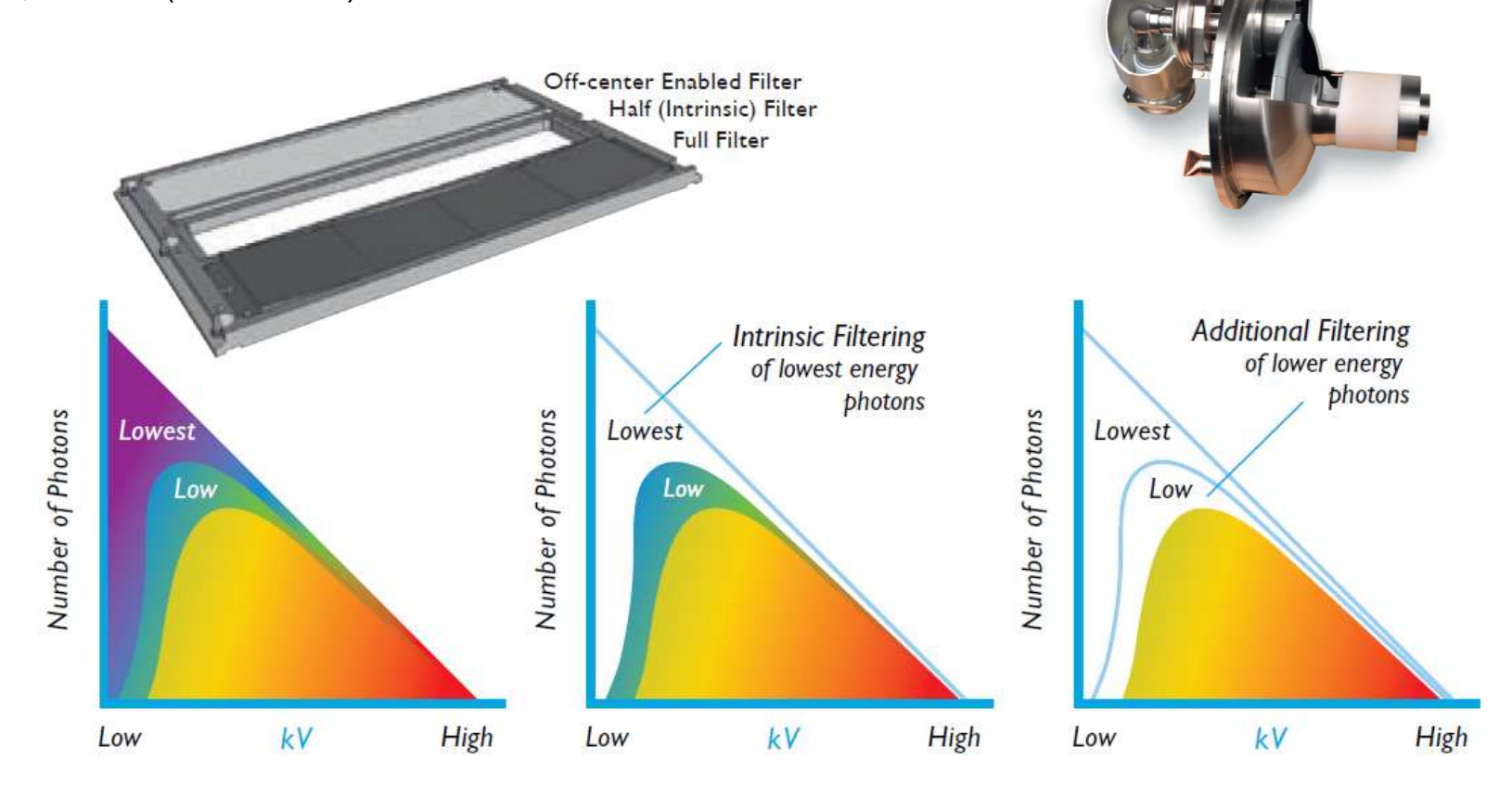


## Filtración

*IntelliBeam* 

Factores esenciales

2x 1,2 mm Ti (9 mm de Al) en *iCT* 

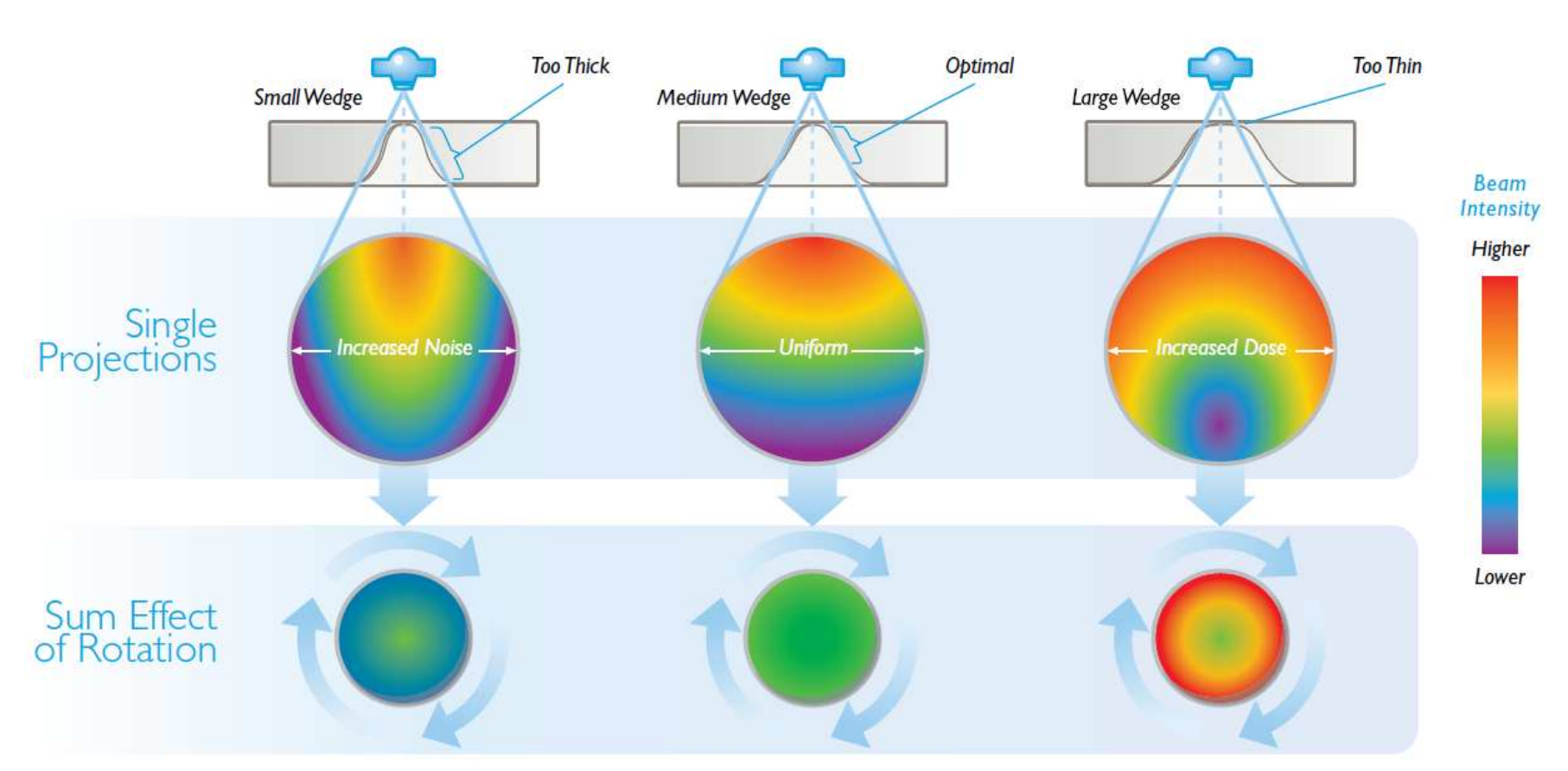


## Filtración

**SmartShape** 



Small: protocolos pediátricos (0-18 meses) Medium: cardio Large: cabeza y cuerpo



## Geometría

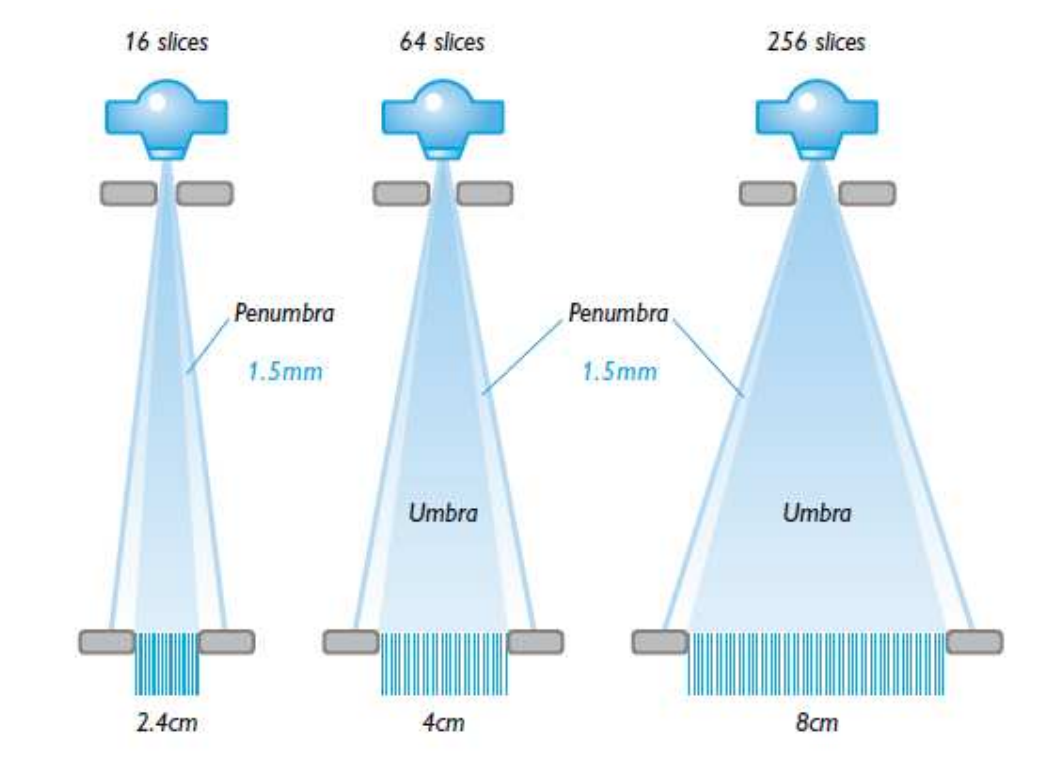
#### Cobertura



Una mayor cobertura permite mejorar la eficiencia

La eficiencia de la dosis en el eje Z es un 3,4 % superior con 8 cm de cobertura que con 4 cm

Un 7,5% superior que con 2,4 cm de cobertura



### Geometría

Colimación

Factores esenciales

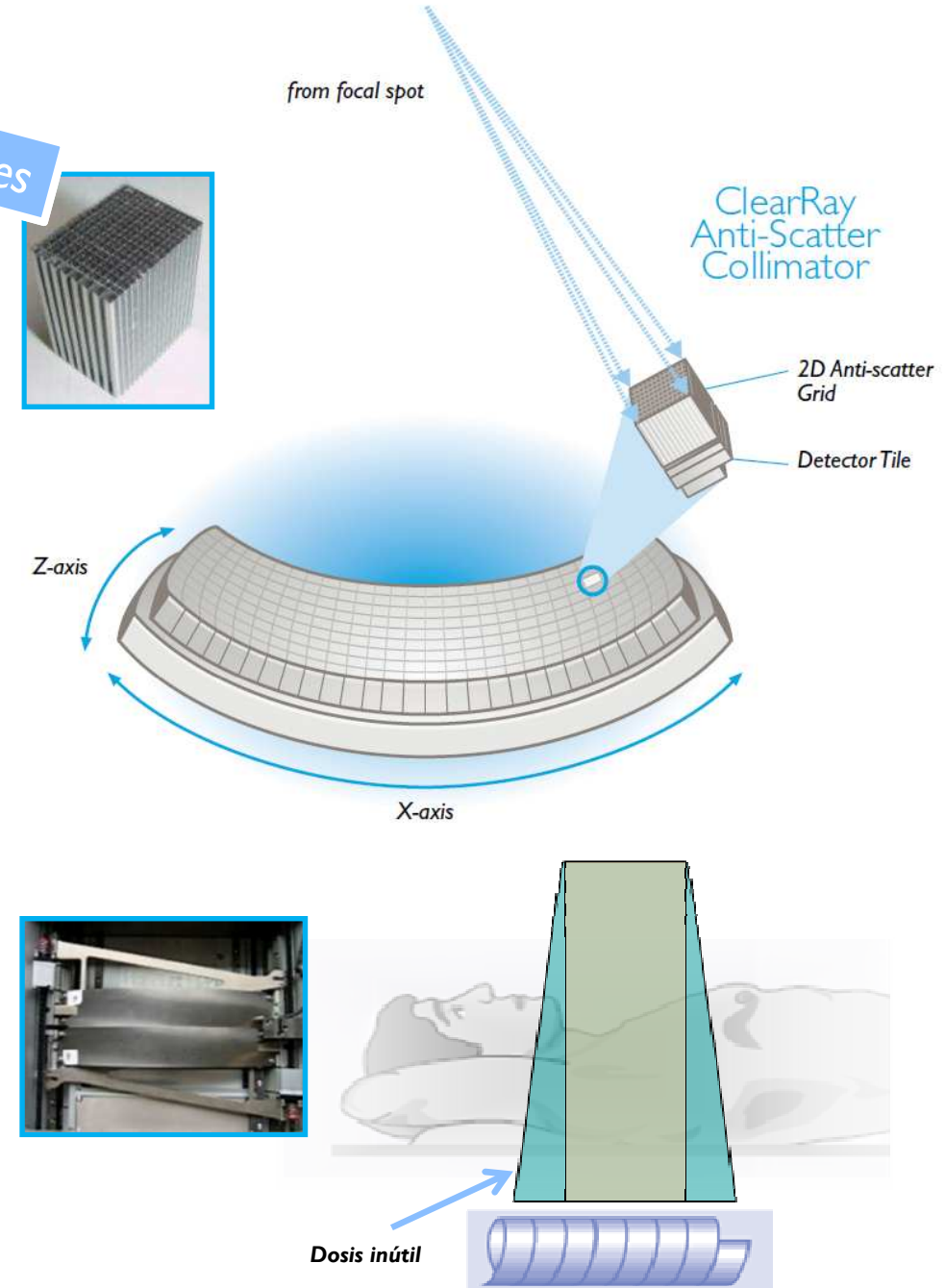
#### Colimador ClearRay

Enfocado con geometría de haz cónico Reduce la Rx dispersa (del 18% al 6%) y mejora:

- contraste
- homogeneidad Hounsfield
- eficiencia geométrica

#### Colimador Eclipse

Elimina la dosis al inicio y al final de la adquisición: hasta 33% de reducción de dosis (tórax pediátrico)



#### **Detectores**

Nanopanel



#### Centelleador

GOS (Gadolinium oxysulfide) Mayor emisión de luz que el CdWO<sub>4</sub> (Cadmium Tungstate)

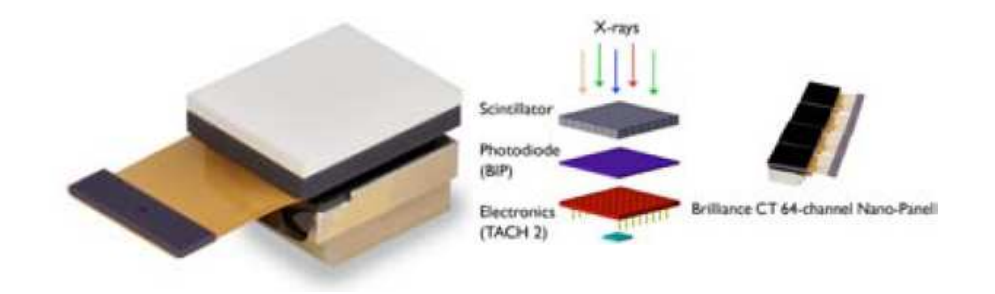
#### Fotodiodo

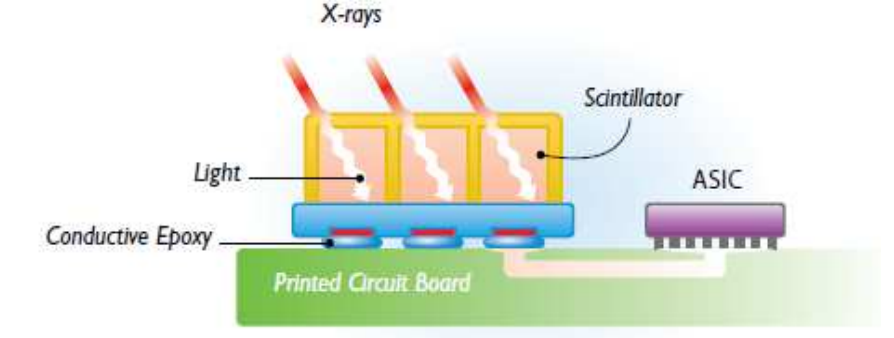
Back Iluminated Photodiode (BIS) Resuelve el problema del cableado Disminuye los septos

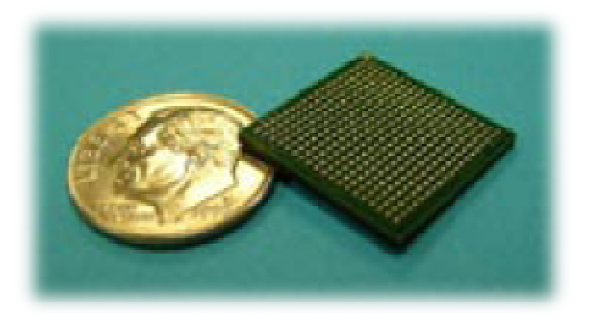
#### Chip TACH-2

Circuito integrado (Application Specific Integrated Circuit o ASIC) que convierte la señal analógica en digital

Unido directamente al fotodiodo: mejora la relación señal-ruido -> reduce la dosis







### Reconstructor

Factores esenciales

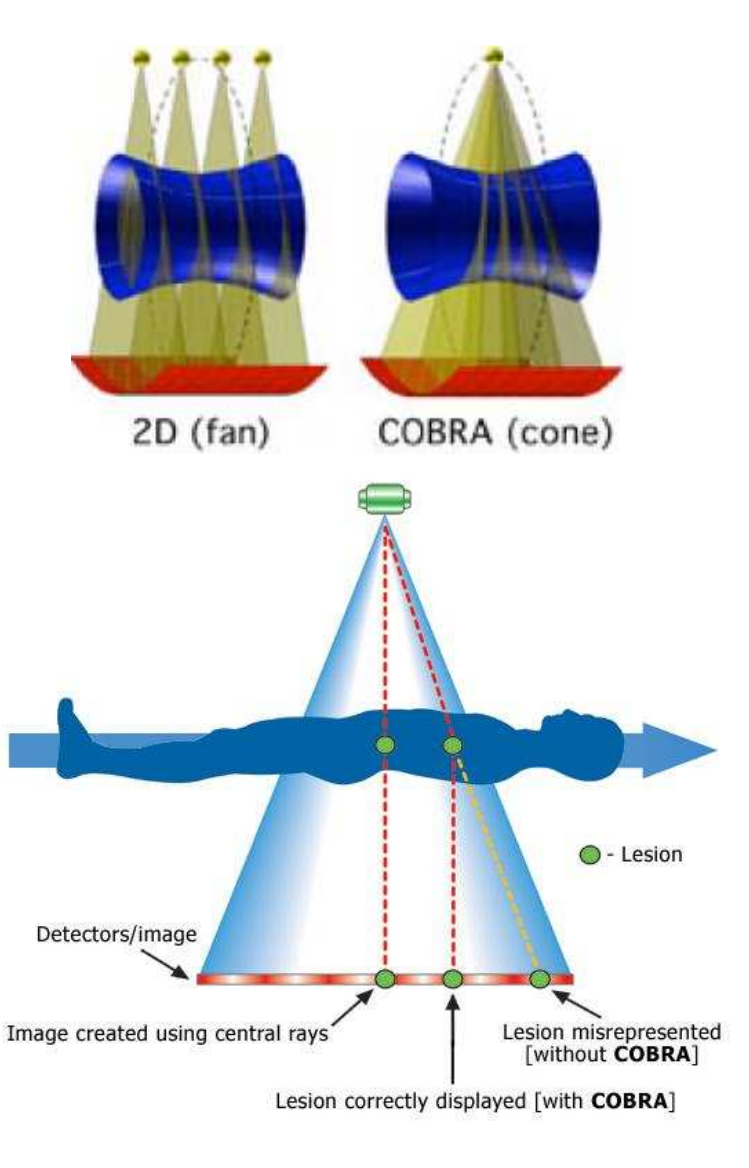
RapidView

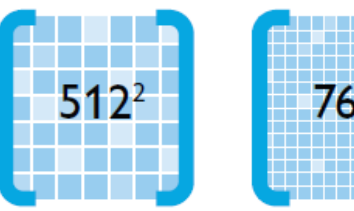
#### Algoritmo de reconstrucción **COBRA©**

Reconstrucción 3D ConeBeam real para geometria ConeBeam (gran cobertura) Permite obtener imágenes libres de artefactos

Fundamental en aplicaciones en las que se usa una gran cobertura

Imágenes de alta resolución con matriz de hasta 1.024 x 1.024. Junto con Smart Focal Spot, mejora la resolución espacial









# Reconstrucción Factores esenciales

#### *iDose*

Permite reducir la dosis hasta un 80% reduciendo los mAs utilizados Exploraciones sub-mSv rutinarias para todos los pacientes y protocolos

	Subject 1		Subject 2		Subject 3		Subject 4	
	Routine	Low-dose	Routine Low	-dose	Routine	pw-dose	Routine	Low-dose
mA	305	61	305	mance		49	427	85
mAs	250		iDose perfor	marice		40	350	70
kVp	120					120	120	120
Pitch	0.61	16				0.61	0.61	0.61
Rotation time (s)	0.5	P 14 12				0.5	0.5	0.5
Thickness (mm)	0.9	9 10				0.9	0.9	0.9
Increment (mm)	0.45	Images per				45	0.45	0.45
Effective dose (mSv)a,b	4.82	<b>FELL</b> 4				36	7.53	1.5
DLP (mGy × cm) <sup>b</sup>	344.9	0	RapidView	RapidVie	M IK	2	538	107.6
CTDI <sub>vol</sub> (mGy) <sup>c</sup>	14.7		<u></u>	.9	11.8	2.4	20.6	4.1

<sup>&</sup>lt;sup>a</sup> Effective radiation dose was calculated as the product DLP and a conversion coefficient, k = 0.014 mSv × mGy-1 × cm-1, for the adult thorax. See: McCollough C, Cody D, Edyvean S, et al. (2008) The measurement, reporting, and management of radiation dose in CT. Technical Report 96. American Association of Physicists in Medicine.

<sup>&</sup>lt;sup>b</sup> Effective dose and DLP have been adjusted to reflect an equivalent scan length for the routine and low-dose scans

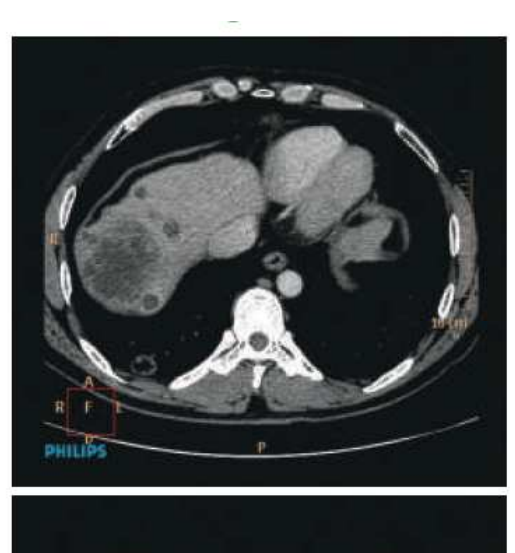
c Based on a 32 cm phantom

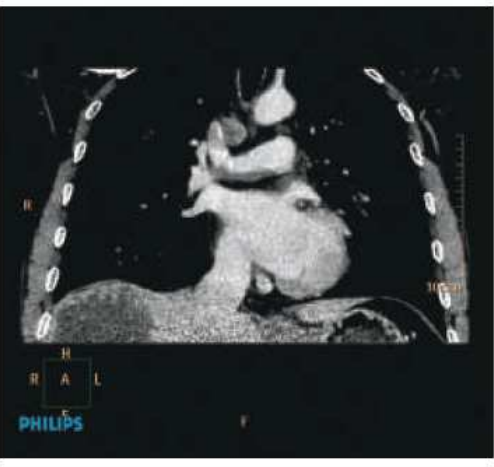
### Reconstrucción

Factores esenciales

#### *iDose*

Algoritmo iterativo, mucho más que un programa de reducción de ruido





Routine dose acquisition reconstructed with FBP





2. 80% lower-dose acquisition reconstructed with FBP



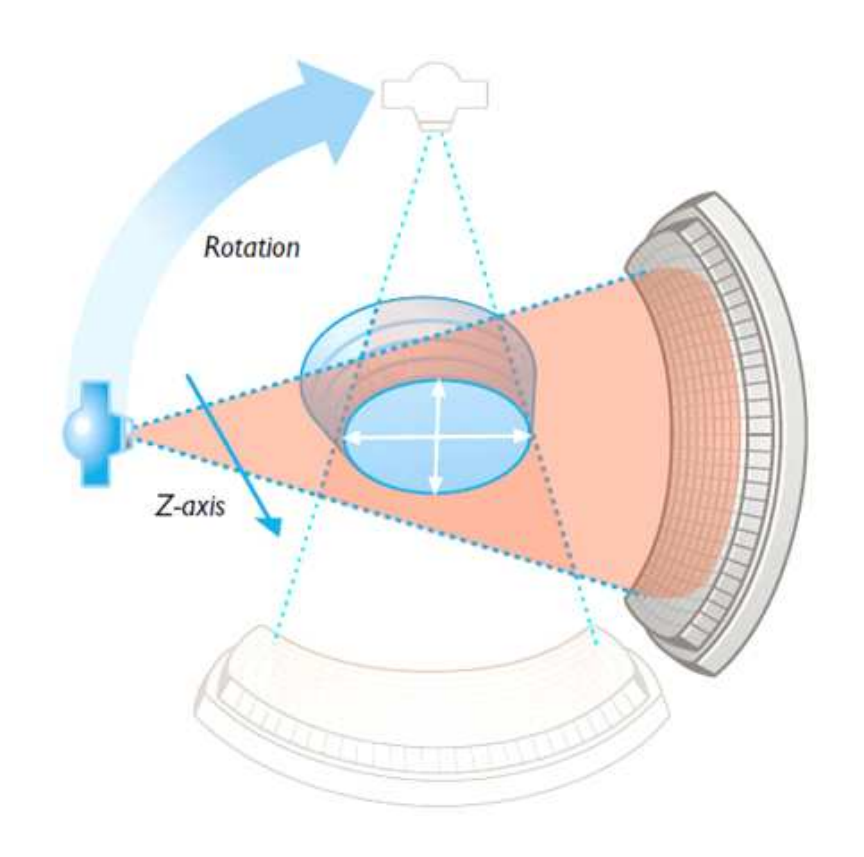


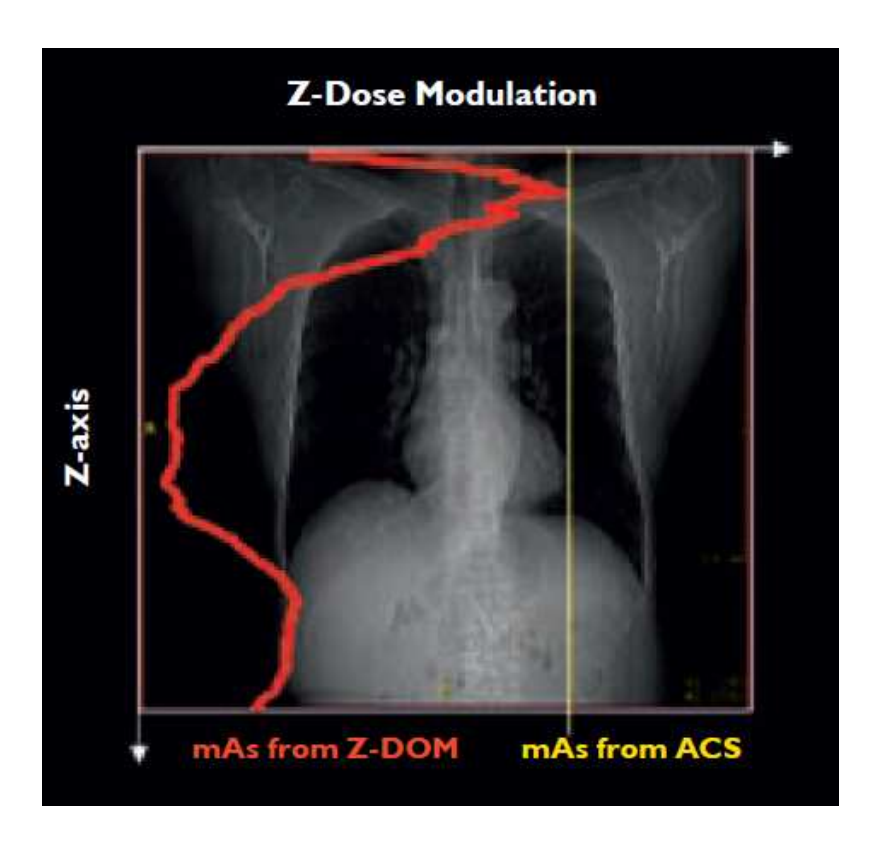
3. 80% lower-dose acquisition reconstructed with iDose

## Modulación del haz

Ajuste automático

#### Dose Right ACS, D-DOM y Z-DOM





## Modulación del haz

#### ECG Dose Modulation (volum.)

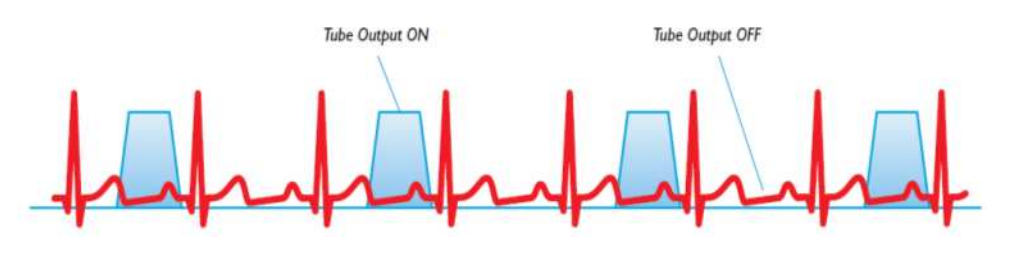
Reducción mA hasta un 80% durante las fases del ECG sin interés: reducción de hasta 45% de la dosis

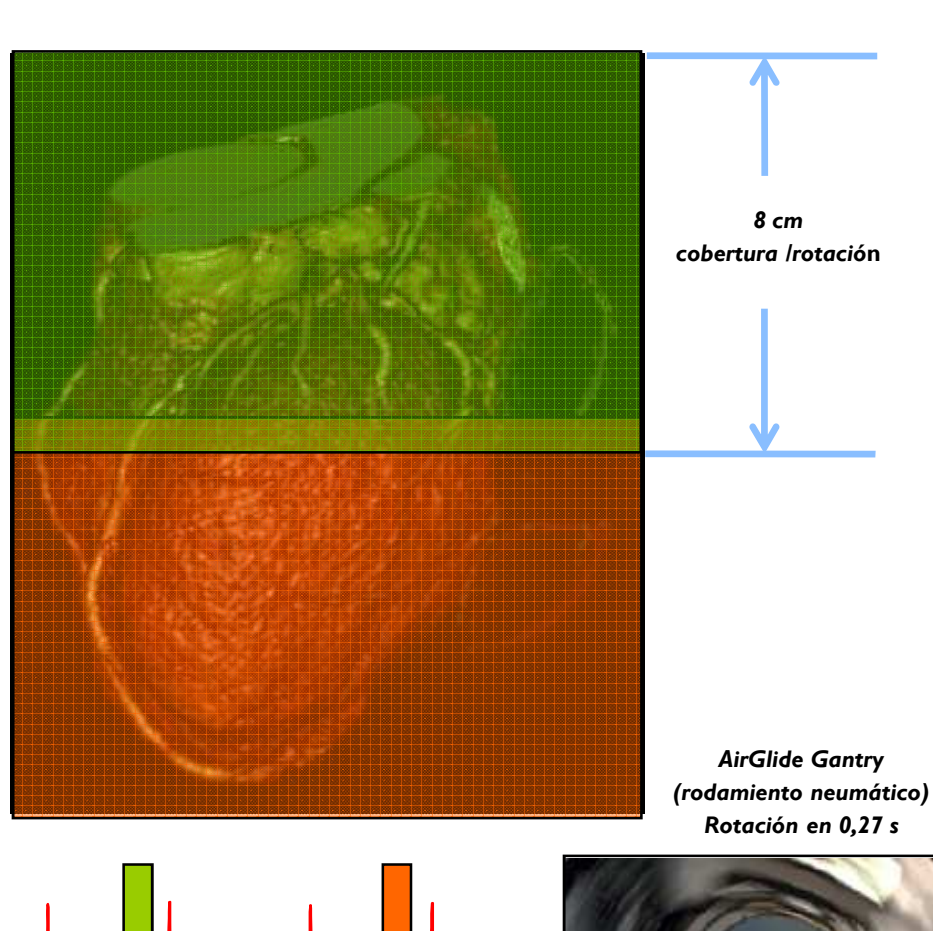
#### Step & Shoot (axial)

Adquisición en 2 ciclos (8 cm de cobertura/ciclo)

Reducción de dosis del 80% frente a un adquisición volumétrica: estudios <1mSv

Detección/corrección automática por extrasístoles o arritmias







## Protocolos especiales

#### Para pediatría



Utilización de un maniquí CTDI específico para pediatría

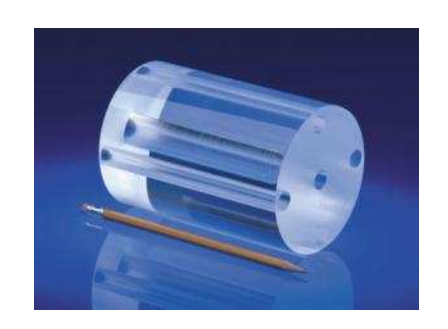
Reducción de dosis >20% para exámenes de cabeza

Reducción de dosis >60% para exámenes de cuerpo

Configurables según la edad y peso

Desarrollados en colaboración con:

- -British Columbia Children's Hospital
- -Children's Hospital of Philadelphia



#### Chest / Abdomen / Pelvis (CAP) - Weight Specific Protocols

Patient weight	Relative mAs or CTDI <sub>vol</sub> dose
Newborn to 10 kgm	0.2-0.4
10 to 30 kgm	0.6
30 to 50 kgm	0.8
50 to 70 kgm	0.9
70 to 90 kgm (ave. adult)	1.0
Above 90 kgm (large adult)	1.4

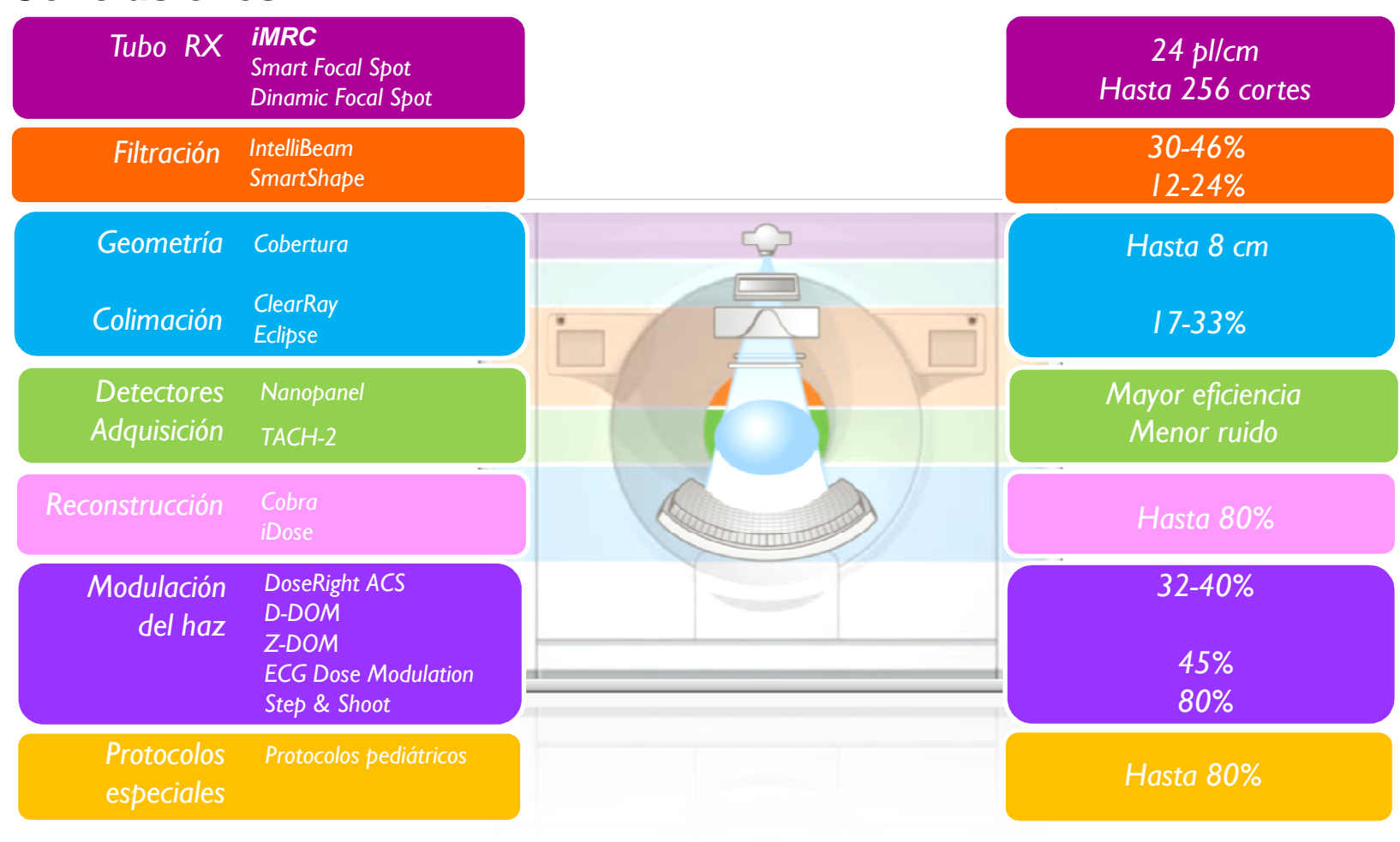
#### Routine Brain - Age Specific Protocols

Patient age	Relative mAs or CTDI <sub>vol</sub> dose
Infant (up to 12 months)	0.4
Child (1 to 6 yrs)	0.7
Teen (7 yrs to 18 yrs) or average adult head	0.9

### **Texto**

#### **Texto**

#### **Conclusiones**



## Información y registro de las dosis

Pacientes y usuarios

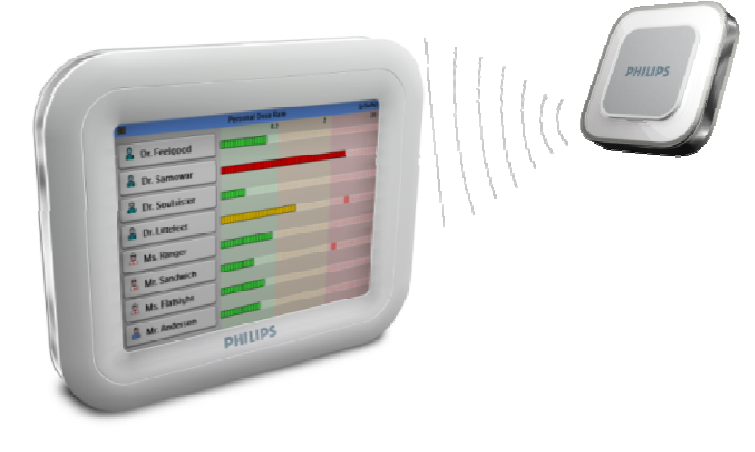
RX

Información y registro de dosis

Información dosimétrica de los pacientes Información dosimétrica de los usuarios Dose Aware

Dosis usuarios





Making the invisible visible

Philips DoseAware

Información de dosis previa y durante el estudio:

- -CTDI<sub>vol</sub>
- -DLP (dose lenght product)
- -Eficiencia geométrica de la dosis

Informe de dosis como DICOM SC guardado con los datos

C guardado con los datos

